

بِسْمِ اللّٰهِ الرَّحْمٰنِ الرَّحِيْمِ

## چکیده

امکان تصویربرداری زیرسطحی توسط پروب های مایکروویو با وضوح بالا و همچنین مزیت بدون تماس بودن پروب با نمونه، تصویربرداری مایکروویو را امروزه به موضوع مهمی در کاربردهایی مانند آزمایش‌های غیرمخرب بدل کرده است. هدف این تحقیق، اجرای یک سیستم آزمایشگاهی تصویربرداری مایکروویو برای اجسام زیرسطحی است. در این راستا یک پروب میدان نزدیک مایکروویو طراحی و ساخته شده است. این پروب دارای مشخصه‌ی ضربیت بالا برای افزایش حساسیت در تلفات بازگشتی ( $S_{11}$ ) هست که امکان دستیابی به تصاویر مایکروویو با وضوح بالا را امکان‌پذیر می‌سازد. پروب میدان نزدیک با استفاده از تکنولوژی خطوط ریزنواری طراحی شده که براساس تکنیک حفره‌ی تشدید، امکان افزایش حساسیت در تلفات بازگشتی را می‌سرماید. پروب ساخته شده بر روی یک سیستم آزمایشگاهی مکانیزه، مجهز به موتورهای پله‌ای نصب شده و تصویربرداری مایکروویو با حرکت دوبعدی صفحه نمونه و پروب ثابت انجام می‌شود. در هر نقطه از حرکت دوبعدی ماتریسی، مقدار تلفات بازگشتی توسط یک دستگاه تحلیل‌گر شبکه اندازه‌گیری می‌شود. با تبدیل داده‌های بدست آمده به یک ماتریس اندازه‌گیری ذخیره شده در کامپیوتر، تصویر اولیه‌ای از نمونه تشکیل می‌گردد. سپس با اعمال الگوریتم‌های پردازش تصویر به تصویر اولیه، تصویر نهایی با وضوح فضایی بالا بدست آورده می‌شود. خطای میانگین مربعات جهت تعیین میزان دقت تصاویر بدست آمده از سیستم اندازه‌گیری تصویربرداری مایکروویو به کار برده می‌شود. از کاربردهای مهم این روش تصویربرداری، در پزشکی جهت تشخیص سرطان پوست با توجه به هزینه‌ی کمتر نسبت به روش‌های دیگر مانند MRI، اشعه‌ی X و یا در صنعت هوانوردی جهت یافتن ترک‌های بدنی هواپیما (مخفى شده زیر لایه‌ی رنگ) را می‌توان نام برد.

**کلمات کلیدی:** پروب میدان نزدیک - تصویربرداری مایکروویو - ضربیت کیفیت - وضوح فضایی

## فهرست مطالب

عنوان.....	صفحه
فصل اول: مقدمه.....	۱
۱-۱- مقدمه.....	۲
۱-۲- تاریخچه.....	۴
۱-۳- انواع میکروسکوپ.....	۵
۱-۴- تصویربرداری مایکروویو یو.....	۸
۱-۵- تصویربرداری مایکروویو زیرسطحی.....	۱۲
۱-۶- پروب میدان نزدیک.....	۱۴
۱-۷- اهداف پایان نامه.....	۱۵
۱-۸- ساختار پایان نامه.....	۱۶
فصل دوم: بررسی انواع پروب میدان نزدیک.....	۱۷
۱-۱- مقدمه.....	۱۸
۱-۲- پیشینه تحقیق.....	۱۹
۱-۲-۱- انواع پروب با طراحی نوک های مختلف.....	۲۳
۱-۲-۲- بررسی میکروسکوپ های اسکن میدان نزدیک.....	۲۷
۱-۲-۳- روش های تصویربرداری توسط میکروسکوپ اسکن میدان نزدیک.....	۳۰
۱-۲-۴- کاربرد های عملی استفاده از میکروسکوپ های اسکن میدان نزدیک.....	۳۲
فصل سوم: پروب میدان نزدیک ریزنواری.....	۳۶
۱-۱- مقدمه.....	۳۷
۱-۲- تاریخچه.....	۳۸
۱-۳- ساختار کلی پروب ریزنواری.....	۳۹
۱-۴- مطالعه پارامترهای اساسی آنتن.....	۴۰
۱-۴-۱- معادلات اساسی آنتن های ریزنواری.....	۴۰
۱-۴-۲- خطوط انتقال ریزنواری مستطیلی.....	۴۱
۱-۴-۳- تشدیدگرهای مایکروویو.....	۴۴
۱-۴-۴- خریب کیفیت و تطبیق امپدانس.....	۴۷
۱-۴-۵- اجرای عملی پروب.....	۴۸
۱-۵-۱- طراحی و شبیه سازی پروب.....	۵۰
۱-۵-۲- ساخت و اندازه گیری پروب.....	۵۰
فصل چهارم: سیستم تصویربرداری میدان نزدیک آزمایشگاهی (Probe Station) ۷۳.	

۱-۱- ساختار کلی ماشین CNC	۷۴
۲-۲- مدار واسط	۷۵
۳-۳- سیستم (طريقه‌ی نصب) پروب روی <i>Probe station</i>	۷۷
۴-۴- دستگاه اندازه گیری مایکروویو (تحلیل گر شبکه)	۷۹
۴-۱- اتصالات	۸۰
۴-۲- کالیبراسیون	۸۲
۴-۳- خواندن اطلاعات از طریق نرم افزار <i>Lab-VIEW</i>	۸۴
<b>فصل پنجم: تصویربرداری مایکروویو اشیای نمونه زیرسطحی</b>	۸۷
۱-۱- معرفی سناریوی تصویربرداری مایکروویو آزمایشگاهی	۸۸
۱-۲- توصیف اشیای نمونه	۸۹
۱-۳- زیرلایه‌ی چوبی	۹۰
۲-۱- نمونه‌های فلزی	۹۰
۲-۲- پوشش کاغذی	۹۰
۳-۱- اسکن کردن نمونه‌ها توسط پروب	۹۱
۳-۲- فرآیند تولید تصویر مایکروویو با ایجاد ماتریس اندازه گیری	۹۵
۳-۳- تولید تصویر نهایی و نمایش تصاویر خام	۹۷
<b>فصل ششم: پردازش تصویر برای بهبود خروجی سیستم تصویربرداری</b>	۱۰۱
۱-۱- مقدمه	۱۰۲
۲-۱- توصیف فرآیند تصمیم‌گیری	۱۰۲
۲-۲- تشخیص تصویر زیرسطحی و دسته‌بندی کردن آن‌ها	۱۰۴
۲-۳- توصیف الگوریتم پردازش تصویر	۱۰۵
۲-۴- اعمال الگوریتم روی تصاویر خام و نمایش خروجی	۱۰۸
۲-۵- معرفی تابع خطأ و راندمان کار	۱۰۹
<b>فصل هفتم: نتیجه گیری و پیشنهادات</b>	۱۱۱
۱-۱- نتیجه گیری	۱۱۲
۱-۲- پیشنهادات	۱۱۳
<b>مراجع</b>	۱۱۵
<b>واژه‌نامه انگلیسی به فارسی</b>	۱۱۹

## فهرست شکل‌ها

عنوان..... صفحه	
شکل ۱-۱. میزان دقیق تصویربرداری در ابعاد زیر نانومتر تا ابعاد کهکشان‌ها [۱]	۲
شکل ۱-۲. دسته‌بندی کلی میکروسکوپ‌ها و معرفی چند نمونه از انواع میکروسکوپ‌های پرکاربردتر	۸
شکل ۱-۳. میزان وابستگی طول موج‌های مختلف در عبور از هوای معمولی [۱]	۱۳
شکل ۲-۱. انواع مختلفی از پروپ‌ها با طراحی‌های متفاوت [۵۳، ۴۹، ۳۶، ۳۰]	۱۸
شکل ۲-۲. پروپ‌های میکروسکوپ‌های مایکروویو میدان نزدیک [۲۶]	۲۳
شکل ۲-۳. دستگاه و ابعاد پروپ موج‌بر مستطیلی باریک شده با ایجاد یک شکاف در انتهای آن [۲۷]	۲۴
شکل ۲-۴. آنتن موج‌بر مستطیلی باریک شده به شکل هرمی (الف) آنتن میدان نزدیک SEM	
ب) اندازه‌گیری با موج پیوسته تک‌فرکانسی پ) اندازه‌گیری با موج پالسی پهن باند [۲۸]	۲۴
شکل ۲-۵. هندسه آنتن میله‌ای عایقی به صورت دولایه [۳۰]	۲۵
شکل ۲-۶. پروپ عملی ساخته شده و بزرگ شده نوک آن [۳۱]	۲۶
شکل ۲-۷. مدل مداری نوک پروپ تا نمونه فلزی [۳۵]	۲۷
شکل ۲-۸. میکروسکوپ موج میلی‌متری میدان نزدیک [۳۶]	۲۸
شکل ۲-۹. مقایسه طیف فرکانسی در استفاده از تکنیک‌های میکروسکوپی اسکن از طریق پروپ [۳۹]	۲۹
شکل ۲-۱۰. پروپ مایکروویو ناپایدار میدان نزدیک همراه با یک حلقه سیم مسی [۴۰]	۳۰
شکل ۲-۱۱. مسیر اسکن خطی و دایروی در یک فضای اسکن [۴۲]	۳۲
شکل ۲-۱۲. بازه فرکانسی مورد استفاده برای میکروسکوپ‌های مختلف [۴۴]	۳۳
شکل ۲-۱۳. پروپ عملی ساخته شده برای انجام آزمایش [۴۸]	۳۴
شکل ۳-۱. طرح اولیه پروپ	۴۰
شکل ۳-۲. خط انتقال ریزنواری [۵۳]	۴۱
شکل ۳-۳. اثر لبه ایجاد شده در خط انتقال ریزنواری [۵۳]	۴۲
شکل ۳-۴. شکاف ریزنواری و مدار معادل آن (مدل $\pi$ ) [۵۴]	۴۵

..... ۴۱	..... شکل ۳-۵. مدل مداری $RLC$ آنتن خط انتقال ریزنواری [۵۴]
..... ۴۹	..... شکل ۳-۶. یک تشدیدگر ریزنواری مدار باز با خط تغذیه ریزنواری تزویج شده و کانکتور SMA
..... ۵۰	..... شکل ۳-۷. الگوی تشعشعی آنتن ایده‌آل
..... ۵۰	..... شکل ۳-۸. شماتیک پروب ۶۰ گیگاهرتز با استفاده از نرم افزار HFSS
..... ۵۱	..... شکل ۳-۹. نمودار $S_{11}$ پروب در فرکانس ۶۰ گیگاهرتز
..... ۵۲	..... شکل ۳-۱۰. نمودارهای $S_{11}$ آنتن موردنظر با مقیاس‌های یک تا سه برابر مقدار اصلی
..... ۵۲	..... شکل ۳-۱۱. شماتیک پروب ۲۰ گیگاهرتز با استفاده از نرم افزار HFSS
..... ۵۳	..... شکل ۳-۱۲. نمودار $S_{11}$ طراحی شده در فرکانس ۲۰ گیگاهرتز با ابعاد جدید
..... ۵۴	..... شکل ۳-۱۳. نمودار سه بعدی میدان دور پروب ریزنواری
..... ۵۴	..... شکل ۳-۱۴. نمودار دو بعدی میدان دور پروب ریزنواری
..... ۵۵	..... شکل ۳-۱۵. نمودار سه بعدی میدان نزدیک پروب ریزنواری
..... ۵۵	..... شکل ۳-۱۶. نمودار دو بعدی میدان نزدیک پروب ریزنواری
..... ۵۷	..... شکل ۳-۱۷. پارامتریک کردن ابعاد پروب
..... ۵۸	..... شکل ۳-۱۸. نمودار $S_{11}$ پروب با تغییر $L_2$ برای بهینه کردن آن
..... ۵۸	..... شکل ۳-۱۹. نمودار $S_{11}$ پروب با تغییر $L_4$ برای بهینه کردن آن
..... ۵۹	..... شکل ۳-۲۰. شماتیک پروب با محاسبه کردن نوک آن
..... ۵۹	..... شکل ۳-۲۱. نمودار $S_{11}$ پروب با نوک محاسبه شده
..... ۶۰	..... شکل ۳-۲۲. شماتیک پروب با مقعر کردن نوک آن
..... ۶۰	..... شکل ۳-۲۳. نمودار $S_{11}$ پروب با نوک مقعر شده
..... ۶۱	..... شکل ۳-۲۴. شماتیک پروب با قرار دادن قطاع دایره در نوک آن
..... ۶۱	..... شکل ۳-۲۵. نمودار $S_{11}$ پروب با نوک دایروی
..... ۶۲	..... شکل ۳-۲۶. نمودار $S_{11}$ پروب با تغییر زاویه $\alpha$
..... ۶۲	..... شکل ۳-۲۷. بزرگ شده نوک پروب با استفاده از یک میکروسکوپ نوری [۳۶]
..... ۶۳	..... شکل ۳-۲۸. نمودار تغییرات طول شکاف بر حسب مقدار $S_{11}$ پروب
..... ۶۳	..... شکل ۳-۲۹. نمودار تغییرات طول شکاف بر حسب پهنهای باند پروب

شکل ۳-۳۰. نمودار $S_{II}$ پروب با تغییر صدم میلی متر $L_4$ برای بهینه کردن آن.....	۶۴
شکل ۳-۳۱. نمودار $S_{II}$ پروب با تغییر صدم میلی متر $L_3$ برای بهینه کردن آن.....	۶۴
شکل ۳-۳۲. نمودار $S_{II}$ پروب با تغییر همزمان $L_3$ و $L_4$ برای بهینه کردن آن.....	۶۵
شکل ۳-۳۳. نمودار $S_{II}$ پروب با تغییر همزمان $L_2$ و $L_3$ برای بهینه کردن آن.....	۶۵
شکل ۳-۳۴. نمودار سه بعدی میدان نزدیک پروب نهایی طراحی شده برای ساخت (نمای از کنار).....	۶۶
شکل ۳-۳۵. نمودار دو بعدی میدان نزدیک پروب نهایی طراحی شده برای ساخت (نمای از کنار).....	۶۶
شکل ۳-۳۶. نمودار سه بعدی الگوی تشعشعی میدان نزدیک پروب نهایی طراحی شده برای ساخت (نمای از رو برو به سمت بالا در جهت نوک پروب).....	۶۷
شکل ۳-۳۷. نمودار $S_{II}$ پرویی به طول ۱۵ میلی متر در فرکانس ۲۰ گیگاهرتز.....	۶۷
شکل ۳-۳۸. نمودار سه بعدی الگوی تشعشعی میدان نزدیک پروب به طول ۱۵ میلی متر در فرکانس ۲۰ گیگاهرتز (نمای کناری).....	۶۸
شکل ۳-۳۹. نمودار دو بعدی الگوی تشعشعی میدان نزدیک پروب به طول ۱۵ میلی متر در فرکانس ۲۰ گیگاهرتز (نمای کناری).....	۶۸
شکل ۳-۴۰. نمودار سه بعدی الگوی تشعشعی میدان دور پروب به طول ۱۵ میلی متر در فرکانس ۲۰ گیگاهرتز (نمای کناری).....	۶۸
شکل ۳-۴۱. نمودار دو بعدی الگوی تشعشعی میدان دور پروب به طول ۱۵ میلی متر در فرکانس ۲۰ گیگاهرتز (نمای کناری).....	۶۹
شکل ۳-۴۲. نمودار $S_{II}$ پروب نهایی طراحی شده برای ساخت توسط نرم افزار HFSS.....	۶۹
شکل ۳-۴۳. نمودار $S_{II}$ پروب نهایی طراحی شده برای ساخت توسط نرم افزار CST.....	۷۰
شکل ۳-۴۴. پرینت پروب برای پیاده سازی روی برد.....	۷۱
شکل ۳-۴۵. آنتن ساخته شده به همراه کانکتور متصل به آن (بر حسب سانتی متر).....	۷۱
شکل ۳-۴۶. اندازه گیری نمودار $S_{II}$ با دستگاه تحلیل گر شبکه.....	۷۱
شکل ۳-۴۷. نمودارهای $S_{II}$ شبیه سازی و پیاده سازی شده.....	۷۲
شکل ۴-۱. دستگاه CNC و جعبه کنترل آن.....	۷۵

شکل ۴-۲. مدار واسط متصل شده به دستگاه CNC و رایانه و بزرگ شده پورت USB به TTL و نمای کامل از مدار واسط	۷۶
شکل ۴-۳. مراحل تهیه استوانه چوبی برای نگه داشتن پروب	۷۷
شکل ۴-۴. متصل کردن پروب به سیستم Fixture و ثابت کردن آن	۷۸
شکل ۴-۵. نصب سیستم Fixture به همراه پروب روی دستگاه CNC	۷۸
شکل ۴-۶. دستگاه تحلیل گر شبکه مدل 8720C	۷۹
شکل ۴-۷. نمای بالا، کنار و پایین کانکتور SMA female	۸۰
شکل ۴-۸. کابل کواکسیال انعطاف‌پذیر	۸۱
شکل ۴-۹. کابل کواکسیال سخت به صورت عمود شده	۸۲
شکل ۴-۱۰. نحوه اتصال کانکتور و کابل‌های کواکسیال به پروب	۸۲
شکل ۴-۱۱. مجبند و کانکتورهای کالیبراسیون	۸۳
شکل ۴-۱۲. انجام عمل کالیبراسیون دستگاه تحلیل گر شبکه	۸۴
شکل ۴-۱۳. اندازه‌گیری S <sub>11</sub> پروب و خواندن اطلاعات در رایانه توسط نرم‌افزار Lab-VIEW	۸۶
شکل ۴-۱۴. بلوک دیاگرام و پنل کنترلی اسکن اتوماتیک در محیط نرم‌افزاری Lab-VIEW	۸۶
شکل ۵-۱. زیرلایه از جنس چوب	۸۹
شکل ۵-۲. نمونه‌های فلزی از جنس مس	۹۰
شکل ۵-۳. پوشش کاغذی علامت گذاری شده (بر حسب سانتی‌متر)	۹۱
شکل ۵-۴. ترتیب قرار گرفتن نمونه و لایه‌های کاغذی و چوبی	۹۲
شکل ۵-۵. آماده‌سازی نمونه برای اسکن	۹۲
شکل ۵-۶. قرار گرفتن نمونه روی صفحه اسکن	۹۳
شکل ۵-۷. اسکن کردن به صورت خطی و زیگزاگ	۹۴
شکل ۵-۸. نمونه‌های اندازه‌گیری شده	۹۴
شکل ۵-۹. اسکن کردن نمونه در حالت موتورایز شده	۹۵
شکل ۵-۱۰. ماتریس اندازه‌گیری ۱۰×۱۰ مقدار فرکانس‌های تشید در اسکن نمونه مربعی	۹۶
شکل ۵-۱۱. ماتریس اندازه‌گیری ۱۰×۱۰ شیفت داده به مقیاس خاکستری در اسکن نمونه مربعی	۹۷

شکل ۵-۱۲. تصویر خام تشکیل شده از اسکن نمونه مربعی $10 \times 10$ و بزرگنمایی ۱۰۰۰ برابر آن.....	۹۷
شکل ۵-۱۳. تصاویر خام از نمونه‌ها با ابعاد اسکن $25 \times 25$ پیکسلی و به صورت دستی.....	۹۹
شکل ۵-۱۴. تصاویر خام دایره فلزی با ابعاد اسکن $25 \times 25$ و $100 \times 100$ به صورت موتورایز شده.....	۹۹
شکل ۶-۱. بلوک دیاگرام فرآیند تصمیم‌گیری.....	۱۰۴
شکل ۶-۲. شکل‌های (الف) تا (ه) نمودارهای هیستوگرام تصاویر نهایی حاصل از اندازه‌گیری.....	۱۰۶
شکل ۶-۳. شکل‌های (الف) و (ب) به ترتیب تصاویر خروجی بخش دوم و اول حاصل از اعمال الگوریتم پردازش تصویر به تصاویر خام.....	۱۰۸

## فهرست جداول

عنوان.....	صفحه
جدول ۱-۱. پارامترهای فیزیکی اندازه‌گیری شده در انواع تکنولوژی‌های تصویربرداری [۱۹]	۱۱
جدول ۱-۲. منابع و روش‌های آشکارسازی امواج [۱]	۱۲
جدول ۲-۱. مقایسه‌یوضوح و ویژگی‌های میکروسکوپ‌ها [۲۵]	۲۲
جدول ۲-۲. مقایسه‌ی بین روش‌های میکروسکوپی اسکن به‌وسیله‌ی پروب و نوع نمونه آن‌ها [۴۹]	۳۵
جدول ۳-۱. ابعاد پروب نهایی طراحی شده برای ساخت	۶۹
جدول ۳-۲. ابعاد پروب طراحی شده برای ساخت با طول و عرض ۱۶ میلی‌متر	۷۰
جدول ۳-۳. مقایسه بین پروب‌های ساخته شده و شبیه‌سازی شده	۷۲
جدول ۵-۱. فرکانس‌های تشدید برای نمونه‌های مختلف	۹۸
جدول ۶-۱. نمونه‌ها و مقدار آستانه مطلوب در نظر گرفته شده برای آن‌ها	۱۰۷
جدول ۶-۲. مقدار خطای میانگین مربعات برای نمونه‌های مختلف	۱۱۰

## فهرست علائم

عنوان	علامت اختصاری
ضریب نفوذپذیری الکتریکی	$\epsilon$
ضریب نفوذپذیری مغناطیسی	$\mu$
رسانایی	$\sigma$
طول موج	$\lambda$
فرکانس تشدید	$f_r$
سرعت نور	$c$
ضریب کیفیت	$Q$
امپدانس تطبیق	$Z_0$
ضریب تلفات	$\tan \delta$
سرعت فاز	$v_p$
ثابت انتشار	$\beta$
تلفات آنتن	$\alpha$

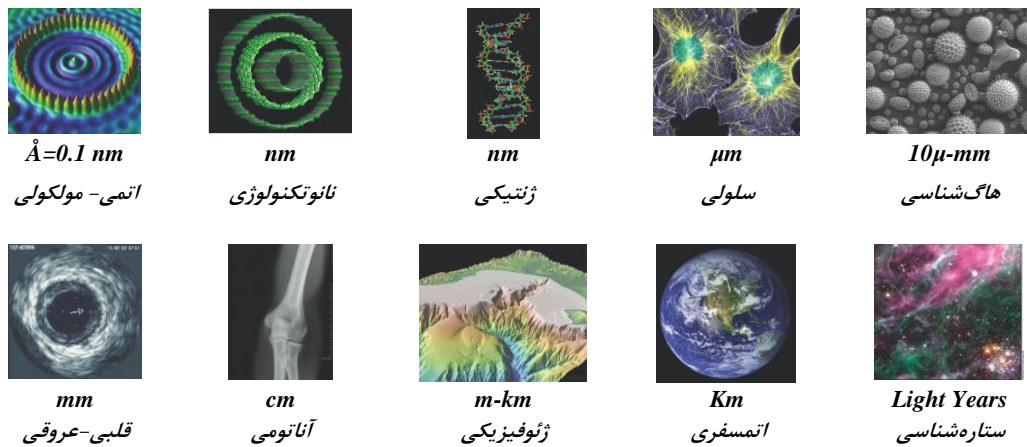
## فصل اول

### مقدمه

## ۱-۱- مقدمه

بشر از همان ابتدا به دنبال روشی برای ثبت اطلاعات و لحظات بود. با پیشرفت تکنولوژی، تصویربرداری از وقایع، اشیا و محیط اطراف رایج شد. امروزه روش‌های مختلفی برای تشکیل انواع تصاویر و ذخیره‌سازی آن‌ها به شیوه‌های مختلف به وجود آمده است. تصویربرداری، اندازه‌گیری توزیع فضایی تعدادی از خواص فیزیکی یک شی می‌باشد که با استفاده از ابزارهایی همچون دوربین عکاسی، اسکنر صوتی یا نوری، میکروسکوپ، تلسکوپ، سیستم رادار، اشعه‌ای ایکس<sup>۱</sup> و غیره انجام می‌گردد [۱]. همانطور که در شکل ۱-۱ نشان داده شده است، مقیاس فضایی این اشیا ممکن است از رنج زیر نانومتر تا یک سال نوری باشد. مؤلفه‌هایی که از تشکیل تصویر می‌توان بدست آورد عبارتند از:

- شکل، اندازه و مکان مرکز یک هدف
- تعیین تعداد اهداف با یک نوع خاص
- خواص فیزیکی مواد مانند رطوبت و درجه حرارت
- اندازه‌گیری آماری یک توزیع تصادفی (مانند برابری سنگی، غیریکنواختی و چرخش یک محیط)
- حضور و غیبت یک ماده‌ی خاص، آشکارسازی یک هدف مخفی، تشخیص وجود شکست یا حفره



شکل ۱-۱. میزان دقیق تصویربرداری در ابعاد زیر نانومتر تا ابعاد کهکشان‌ها [۱]

<sup>۱</sup> X-Ray

در تصویربرداری‌های مختلف می‌توان خواص فیزیکی تصویر را به صورت مستقیم یا غیرمستقیم دریافت نمود. دستگاه‌های تصویربرداری از طریق پدیده‌های فیزیکی زیادی همچون انعکاس، انکسار، بازتاب، پاشیدگی، فلورسانس، میدان‌های الکتریکی و مغناطیسی، تشدید مغناطیسی و انتشار حرارتی تصویر را تشکیل می‌دهند. از جمله خواص فیزیکی که از این روش‌ها بدست می‌آیند می‌توان به موارد زیر اشاره کرد.

خواص فیزیکی دریافت شده به طور مستقیم عبارتند از:

- الکترومغناطیسی: گذردهی، نفوذپذیری، رسانایی، چگالی اسپین‌های هسته
- نوری: شاخص انکسار، ضریب جذب، ضریب بازتاب، ضریب نفوذ، نرخ و طول عمر فلورسانس
- اشعه‌ی ایکس: ضریب جذب، ضریب بازتاب
- صوتی<sup>۱</sup> (آکوستیک): چگالی، تراکم پذیری

از این خواص، برخی خواص دیگر به صورت غیرمستقیم بدست می‌آیند که می‌توان به موارد زیادی همچون فشار، درجه حرارت، رطوبت، مقاومت گرمایی، ترکیبات شیمیایی، ساختار اتمی، خواص فیزیولوژیکی و زیست‌شناسی مثل جریان خون، تمرکز هموگلوبین، مشخصات ژنی، ناهمسانی سلولی و غیره اشاره کرد. با بهینه کردن تصاویر و بدست آوردن اطلاعات از آن‌ها، می‌توان خواص مختلفی از نمونه‌ی<sup>۲</sup> موردنظر (هر چیزی مانند شی یا بافت زنده که عمل تصویربرداری از آن انجام می‌گیرد) بدست آورد.

در تصویربرداری مایکروویو از یک آنتن که مختص به آن طراحی شده است، برای اندازه‌گیری امواج الکترومغناطیسی استفاده می‌شود. با توجه به خواص الکتریکی و مغناطیسی شیء موردنظر و ایجاد ناهمگنی نسبت به محیط تصویربرداری مایکروویو، از این اختلاف برای آشکارسازی تصویر استفاده می‌شود.

سیستم تصویربرداری الکترومغناطیس در فرکانس‌های مایکروویو در موارد زیادی از کاربردها همچون عیب‌یابی صنعتی، بررسی سطوح زیرسطحی و تصویربرداری پزشکی به طور عملی استفاده می‌شود [۲].

<sup>1</sup> Acoustic

<sup>2</sup> Sample

## ۱- تاریخچه

در سال ۱۸۷۳ هنگامی که آبه<sup>۱</sup> فرمول‌های مربوط به میکروسکوپ نوری را بررسی می‌کرد، متوجه شد که در میدان‌های الکترومغناطیسی، وضوح فضایی به نصف طول موج تشعشع در مورد امواج الکترومغناطیس محدود می‌شود (یعنی بدست آوردن وضوح فضایی بالا با توجه به محدودیت طول موج امکان‌پذیر نیست) [۳].

در سال ۱۹۲۸، سینج<sup>۲</sup> روشی را ارائه داد که محدودیت توصیف شده توسط آبه را تداشت. روش ارائه شده بر این اساس بود که از طریق اسکن نقطه به نقطه در میدان نزدیک یک پروب کوچک، برای دستیابی به یک وضوح فضایی زیر طول موج انجام می‌شود. این روش امروزه با همان نام میکروسکوپ مایکروویو اسکن میدان نزدیک شناخته می‌شود. در سال ۱۹۴۴، بته<sup>۳</sup> کار سینج را بهبود داد و استفاده از حفره‌های تشدید برای بالا بردن حساسیت و ضریب کیفیت<sup>۴</sup> را پیشنهاد داد. پس از پیشنهاد اولیه سینج و نظریه بته در سال ۱۹۵۳، پاته<sup>۵</sup> استفاده از میکروسکوپ اسکن اشعه ایکس را پیشنهاد داد [۴].

در سال ۱۹۵۶، آکیف<sup>۶</sup> در مورد روش‌های خواندن سیگنال‌های زیر طول موج تحقیقاتی انجام داد. او از یک آشکارساز نوری برای اسکن و اندازه‌گیری نور بازتابی استفاده کرد، که موضوع اصلی برای ساخت میکروسکوپ نوری اسکن میدان نزدیک (NSOM<sup>۷</sup>) بود و تفاوت آن با میکروسکوپ مایکروویو اسکن میدان نزدیک (NSMM<sup>۸</sup>) در بازه‌ی فرکانس کاری آن‌ها و شیوه خواندن (آشکارسازی) اطلاعات می‌باشد. برای خواندن اطلاعات در NSMM از تشدیدگرهای بارگذاری شده<sup>۹</sup> استفاده می‌شود [۵]. در سال ۱۹۵۶، پاته با استفاده از امواج صوتی نشان داد که وضوح تصویر به طول موج غیر وابسته است [۶].

سرانجام در سال ۱۹۶۲، سوهو<sup>۱۰</sup> اولین آزمایش را در مورد ایده‌ی سینج انجام داد که وضوح ۲۵ میکرومتر را در فرکانس ۵/۵ گیگاهرتز بدست آورد. آزمایش سوهو می‌توانست سبب خراب شدن نمونه مورد آزمایش شود؛ زیرا آزمایش از طریق تماس نمونه با دهانه‌ی آنتن انجام می‌گرفت. روش تماس داشتن پروب با نمونه استفاده

<sup>1</sup> Abbe

<sup>2</sup> Synge

<sup>3</sup> Bethe

<sup>4</sup> Quality factor

<sup>5</sup> Pattee

<sup>6</sup> O'Keefe

<sup>7</sup> Near-Field Scanning Optical Microscopy

<sup>8</sup> Near-Field Scanning Microwave Microscopy

<sup>9</sup> Loaded Resonator

<sup>10</sup> Soohoo

می‌شد تا این‌که در سال ۱۹۶۵، گان<sup>۱</sup> و براینت<sup>۲</sup> اولین آزمایش NSMM را به صورت بدون تماس<sup>۳</sup> با نمونه با NSMM وضوح فضایی یک میلی‌متر در فرکانس ۴۵۰ مگاهرتز انجام دادند [۷]. در سال ۱۹۷۲، واژه‌ی NSMM به وسیله‌ی آش<sup>۴</sup> و نیکولز<sup>۵</sup> در قالب یک مقاله علمی معرفی شد. این کار در فرکانس ۱۰ گیگاهرتز، تصویری با وضوح فضایی ۰/۰ میلی‌متر ایجاد می‌کند و از جمله خواص آن تشدیدگر<sup>۶</sup> با ضریب کیفیت بالا می‌باشد [۸]. در همین سال‌ها بلانک<sup>۷</sup> و متی<sup>۸</sup> نشان دادند که حساسیت سیستم با ضریب کیفیت رابطه‌ی مستقیم دارد [۹]. همچنین در سال ۱۹۶۵، گوتمن<sup>۹</sup> اختلاف شدت بین پروب‌های میدان الکتریکی و مغناطیسی را نشان داد که در سال‌های بعد توسط طبیب‌آذر عملی گردید. در روش طبیب‌آذر از نوک فلزی تیز برای پروب‌های میدان الکتریکی و حلقه‌های سیمی کوچک برای پروب میدان مغناطیسی استفاده می‌شد [۱۰]. در سال ۱۹۸۱ در شرکت IBM، رُهر<sup>۱۰</sup> و بینیگ<sup>۱۱</sup> میکروسکوپ اسکن تونل زنی (STM<sup>۱۲</sup>) را ساختند و در سال ۱۹۸۷، میکروسکوپ نیروی اتمی (AFM<sup>۱۳</sup>) نیز تکمیل شد. با ترکیب AFM و NSMM یک میکروسکوپ با مزایای دقیق نانومتر و تزویج قوی بین پروب، نمونه و نواحی اسکن خیلی کوچک در حدود ۱۰۰ میکرومتر با تشخیص معایب سطحی نمونه‌ها ساخته شد [۱۱]. بدین ترتیب سیر تکاملی تصویربرداری از اشیا با افزایش وضوح تصویر و دقیق بسیار بالا تا امروزه ادامه پیدا کرده است.

### ۱-۳- انواع میکروسکوپ

علاقة‌ی بشر به بزرگ نشان دادن اشیا، برای بهتر دیدن و شناسایی آن‌ها و توجه به این موضوع که این کار از طریق چشم غیرمسلح (چشم طبیعی انسان) صورت نمی‌گرفت، او را به فکر ساخت وسیله‌ای برای بزرگ‌نمایی اشیا انداخت. در این راستا ساخت میکروسکوپ از اوایل قرن هفدهم جهت تحقق این هدف آغاز گردید. اختراع

<sup>1</sup> Gunn

<sup>2</sup> Bryant

<sup>3</sup> Non-Contact

<sup>4</sup> Ash

<sup>5</sup> Nicholls

<sup>6</sup> Resonator

<sup>7</sup> Blanc

<sup>8</sup> Matey

<sup>9</sup> Guttmann

<sup>10</sup> Rohrer

<sup>11</sup> Binnig

<sup>12</sup> Scanning Tunnelling Microscopy

<sup>13</sup> Atomic Force Microscopy